

# Práctica 1

David Nikolov Yordanov

17 de Noviembre de 2025

## Índice

<b>1</b>	<b>Introducción</b>	<b>2</b>
<b>2</b>	<b>Parte 1: Ecuación Homogénea</b>	<b>2</b>
2.1	Análisis de Convergencia . . . . .	3
2.1.1	Convergencia Espacial (p) . . . . .	3
2.1.2	Convergencia Temporal (q) . . . . .	4
2.2	Análisis de Eficiencia . . . . .	5
<b>3</b>	<b>Parte 2: Ecuación No Homogénea</b>	<b>6</b>
3.1	Análisis de Convergencia (Parte 2) . . . . .	7
3.1.1	Convergencia Espacial (p) . . . . .	7
3.1.2	Convergencia Temporal (q) . . . . .	8
3.2	Análisis de Eficiencia (Parte 2) . . . . .	9
<b>4</b>	<b>Anexo - P1</b>	<b>10</b>
<b>5</b>	<b>Anexo - P2</b>	<b>11</b>

# 1 Introducción

En este informe se implementan los métodos explícito, implícito y de Crank-Nicolson para resolver la ecuación del calor en condiciones típicas y en condiciones no homogéneas.

Usaremos la notación habitual:

- $J$  será el número de nodos en la partición de espacio y  $h = 1/J$  distancia entre los nodos.
- $N$  será el número de nodos en la partición de tiempo y  $k = T/N$  distancia entre los nodos.
- $T$  punto final en tiempo.

## 2 Parte 1: Ecuación Homogénea

Estamos estudiando la ecuación del calor de homogénea:

$$\frac{\partial^2 u}{\partial x^2} = \frac{\partial u}{\partial t} \quad \text{con condiciones Dirichlet}$$

Consideramos de condición inicial una autofunción del problema  $u_0(x) = \sin(2\pi x)$  que nos lleva a que el problema tenga solución exacta  $u(x, t) = e^{-4\pi^2 t} \sin(2\pi x)$

Buscamos aproximaciones de la forma  $\{U_j^n\}_{j=1,n=1}^{J-1,N}$  donde  $J, N$  son el número de nodos de espacio y tiempo respectivamente. Tenemos varios métodos para calcular estas:

$$\text{Explícito: } \frac{U_j^{n+1} - U_j^n}{k} = \frac{1}{h^2} (U_{j+1}^n - 2U_j^n + U_{j-1}^n) \quad (1)$$

$$\text{Implícito: } \frac{U_j^{n+1} - U_j^n}{k} = \frac{1}{h^2} (U_{j+1}^{n+1} - 2U_j^{n+1} + U_{j-1}^{n+1}) \quad (2)$$

$$\text{Crank-Nicolson} \quad \frac{U_j^{n+1} - U_j^n}{k} = \frac{1}{2h^2} [(U_{j+1}^n - 2U_j^n + U_{j-1}^n) + (U_{j+1}^{n+1} - 2U_j^{n+1} + U_{j-1}^{n+1})] \quad (3)$$

Sabemos por la teoría que el error de la aproximación es aproximadamente:  $O(k + h^2)$  para los métodos explícito e implícito, y  $O(k^2 + h^2)$  para el método Crank-Nicolson. (El método explícito solo converge para  $\mu \leq 0.5$ )

Queremos ver mediante esta práctica que estas cotas se cumplen y comparar la eficiencia de los métodos.

## 2.1 Análisis de Convergencia

Para verificar los ordenes de convergencia teóricos se realizan dos tipos de tests.

### 2.1.1 Convergencia Espacial ( $p$ )

Para medir la convergencia espacial  $p$ , se fija la relación  $\mu = k/h^2 = 0.4$ . Como se aprecia en la Figura 1, verificando el orden espacial de Crank-Nicolson. En los casos de implícito y explícito en estas condiciones se tiene que como  $k = 0.4 \cdot h^2$  entonces  $E \approx O(0.4 \cdot h^2 + h^2) = O(h^2)$ . Teniéndose un orden de convergencia espacial cuadrático aun siendo ambos de orden lineal en tiempo (véase la Figura 11).

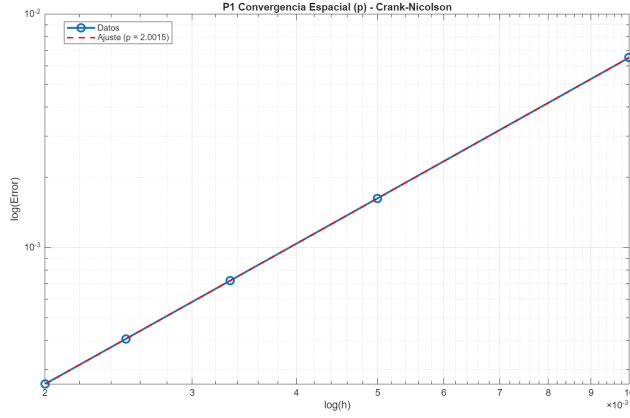


Figura 1: P1 Convergencia espacial ( $p$ ) para Crank-Nicolson. Pendiente  $p \approx 2.0$ .

La Figura 2 demuestra por qué el ajuste  $\mu = cte$  es necesario. Si no se ajusta (usando  $k \propto h$ ), el error temporal  $O(k)$  del método implícito pasa a ser dominante sobre el error espacial  $O(h^2)$ , y la pendiente global se aproxima a  $p \approx 1.43$ .

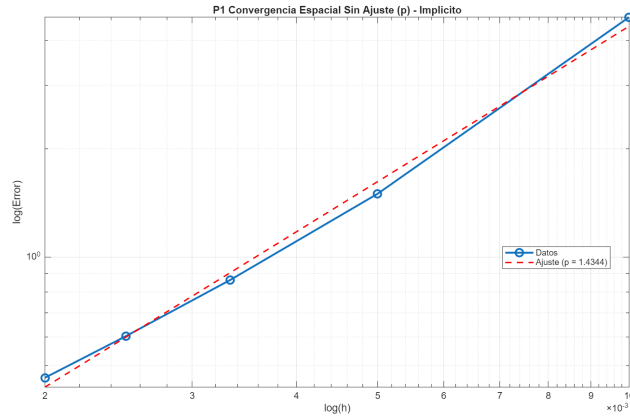


Figura 2: P1 Convergencia espacial ( $p$ ) para Implícito sin ajuste  $\mu$ . Pendiente  $p \approx 1.43$ .

### 2.1.2 Convergencia Temporal (q)

Para medir el orden temporal  $q$ , se aísla el error temporal usando una malla espacial muy fina ( $J = 2000$ ) para que el error  $O(h^2)$  sea despreciable.

**Nota sobre el método explícito:** Este test se omite para el método explícito. Su condición de estabilidad ( $\mu \leq 1/2$ ) fuerza a que  $k \propto h^2$ . Esto ata el error temporal al espacial, impidiéndonos aislar el error temporal del espacial.

Las Figuras 3 y 4 muestran los resultados de este test.

- **Crank-Nicolson (Fig. 3):** Confirma claramente el resultado teórico esperado  $E \approx O(k^2)$ , con una pendiente  $q \approx 2.0$ .
- **Implícito (Fig. 4):** Muestra una pendiente  $q \approx 1.35$  bastante cercana a 1, refinando más la malla este valor tiende a 1 demostrando nuestro resultado teórico  $E \approx O(k)$ .

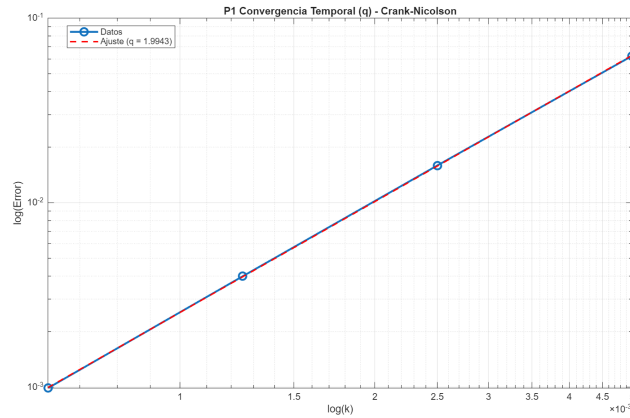


Figura 3: P1 Convergencia temporal (q) para Crank-Nicolson. Pendiente  $q \approx 2.0$ .

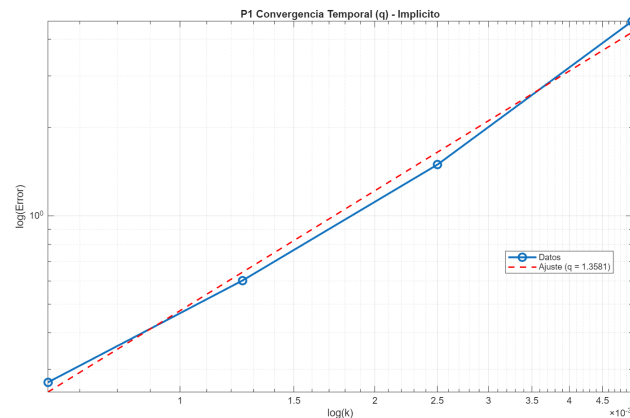


Figura 4: P1 Convergencia temporal (q) para Implícito. Pendiente  $q \approx 1.35$ .

## 2.2 Análisis de Eficiencia

Finalmente, para comparar la eficiencia real de los tres métodos, se realiza una prueba híbrida. Para los métodos incondicionalmente estables (Implícito y Crank-Nicolson), se genera un conjunto de puntos probando una amplia cantidad de valores  $J \times N$ . Para el método Explícito, se consideran valores estables  $\mu = 0.4$ . La Figura 5 muestra los resultados en una gráfica log-log de Error vs. Tiempo de Cómputo.

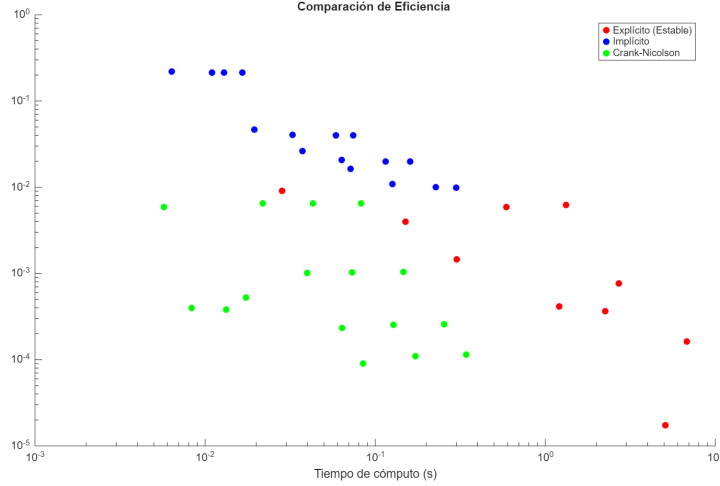


Figura 5: P1 Comparación de Eficiencia. Crank-Nicolson (verde), Implícito (azul) y Explícito (rojo).

De esta gráfica se extraen las conclusiones finales de la práctica:

- **Crank-Nicolson (Verde):** El conjunto de puntos verdes forma la “frontera eficiente”. Sus puntos están sistemáticamente más abajo (menor error) y más a la izquierda (menor tiempo) que los demás. Es, sin duda, el método más eficiente.
- **Implícito (Azul):** Los puntos azules se sitúan por encima de los verdes. Demuestra ser una alternativa estable, pero para alcanzar un nivel de error similar al de Crank-Nicolson, requiere un tiempo de cálculo notablemente mayor. Esto se debe a su convergencia temporal de orden  $q = 1$ .
- **Explícito (Rojo):** Los puntos rojos confirman que, aunque es preciso (error bajo), está muy desplazado a la derecha (tiempo de cálculo alto). Esto se debe a la condición de estabilidad ( $N \propto J^2$ ), que obliga a un número excesivo de pasos de tiempo y dispara el coste, volviéndolo ineficiente. Se apreciará posteriormente con el caso del problema no homogéneo [1], la ineficacia del método.

**Conclusión:** El método de Crank-Nicolson ( $O(k^2 + h^2)$ ) es superior en todos los aspectos, ofreciendo la mayor precisión en el menor tiempo. El método Explícito ( $O(k + h^2)$ ) es demasiado lento debido a su restricción de estabilidad, y el Implícito ( $O(k + h^2)$ ), aunque estable, es menos eficiente que Crank-Nicolson por su convergencia temporal de primer orden.

**Nota:** Las gráficas de eficiencia solicitadas en el enunciado (para  $k$  fijo variando  $h$  y viceversa) se han incluido en el Anexo (véanse las Figuras 12 y 13). Se aprecia en ellas lo siguiente: en las gráficas **h-fijo** (Fig. 13), el error de **Crank-Nicolson** es casi plano (dominado por el “suelo” espacial  $O(h^2)$ ) mientras el **Implícito** muestra la caída de su error temporal  $O(k)$ . En las gráficas **k-fijo** (Fig. 12), se ve el error espacial  $O(h^2)$  disminuir hasta chocar con el “suelo” temporal  $O(k^q)$ . Finalmente, el **Explícito** (‘h-fijo’) muestra el “rebote” del error de redondeo debido al número excesivo de pasos ( $N \propto J^2$ ).

### 3 Parte 2: Ecuación No Homogénea

Se considera ahora el problema no homogéneo:

$$u_t = u_{xx} + f(x, t) \quad \text{con } 0 < x < 1, \quad t > 0$$

Con condiciones de borde y de inicio dadas por:

$$u(x, 0) = 0, \quad 0 \leq x \leq 1 \tag{4}$$

$$u(0, t) = t/(t+1), \quad t > 0 \tag{5}$$

$$u(1, t) = 0, \quad t > 0 \tag{6}$$

Y un término fuente  $f(x, t)$  tal que la solución exacta es  $u(x, t) = \frac{t}{t+1} \cos(\pi x/2)^2$ .

Se repite el análisis de la Parte 1 para este problema. Como se observará, la adición de un término fuente y condiciones de borde no homogéneas no altera las propiedades de convergencia ni la eficiencia relativa de los métodos.

**Nota:** Las gráficas de eficiencia ('k-fijo' y 'h-fijo') para esta parte también se incluyen en el Anexo (véanse las Figuras 15 y 16).

### 3.1 Análisis de Convergencia (Parte 2)

#### 3.1.1 Convergencia Espacial ( $p$ )

Se repite el test fijando  $\mu = 0.4$ . Como se aprecia en la Figura 6, Crank-Nicolson mantiene el orden  $p \approx 2.0$ . Los métodos implícito y explícito (Figura 14) también lo hacen, ya que  $E \approx O(h^2)$ .

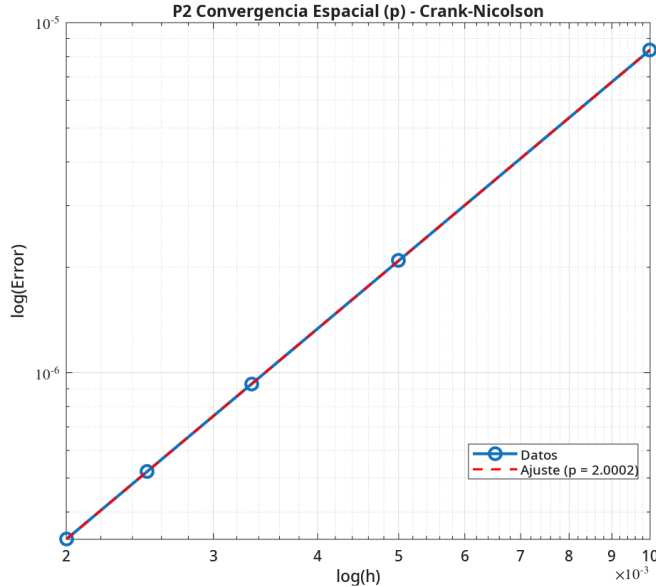


Figura 6: P2 Convergencia espacial (p) para Crank-Nicolson. Pendiente  $p \approx 2.0$ .

De nuevo, la Figura 7 demuestra que sin el ajuste  $\mu = cte$ , el error temporal  $O(k)$  del método implícito domina, y la pendiente se aproxima a  $p \approx 0.91$ .

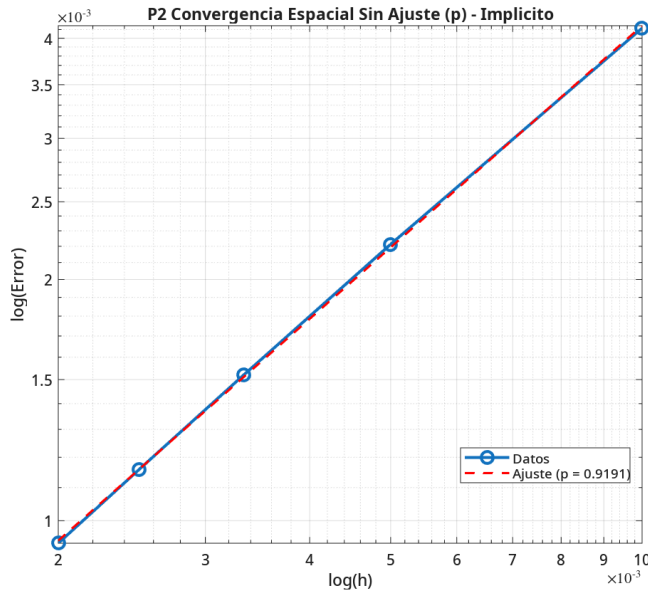


Figura 7: P2 Convergencia espacial (p) para Implícito sin ajuste  $\mu$ . Pendiente  $p \approx 0.91$ .

### 3.1.2 Convergencia Temporal (q)

Se repite el test con  $J = 2000$  para aislar el error temporal. Las Figuras 8 y 9 confirman los resultados teóricos:  $E \approx O(k^2)$  para el método Crank-Nicolson (con  $q \approx 1.95$ ) y  $E \approx O(k)$  para el método Implícito (con  $q \approx 0.93$ ).

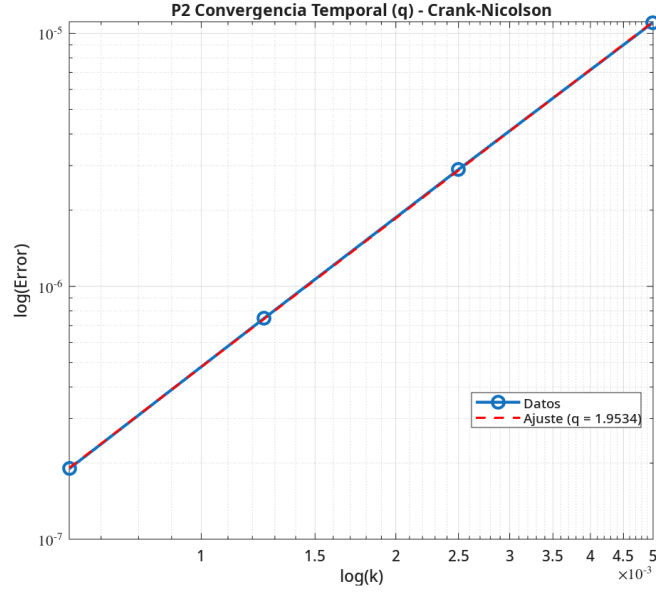


Figura 8: P2 Convergencia temporal (q) para Crank-Nicolson. Pendiente  $q \approx 1.95$ .

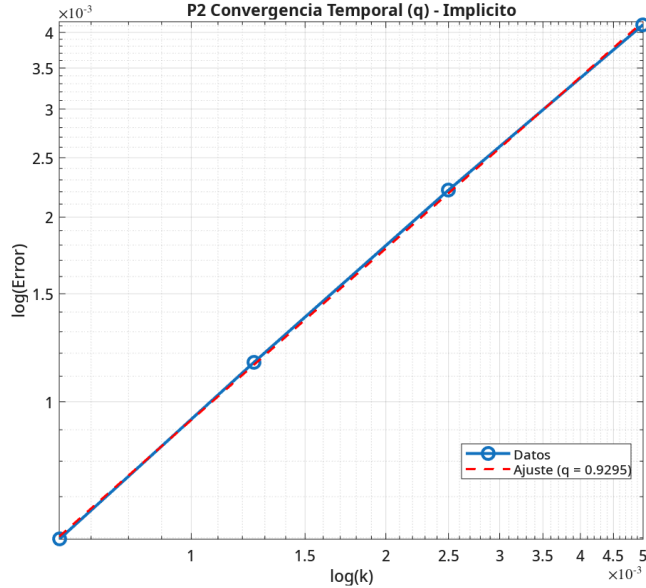


Figura 9: P2 Convergencia temporal (q) para Implícito. Pendiente  $q \approx 0.93$ .

### 3.2 Análisis de Eficiencia (Parte 2)

Finalmente, se repite la prueba de eficiencia híbrida. La Figura 10 muestra unos resultados análogos a la Parte 1.

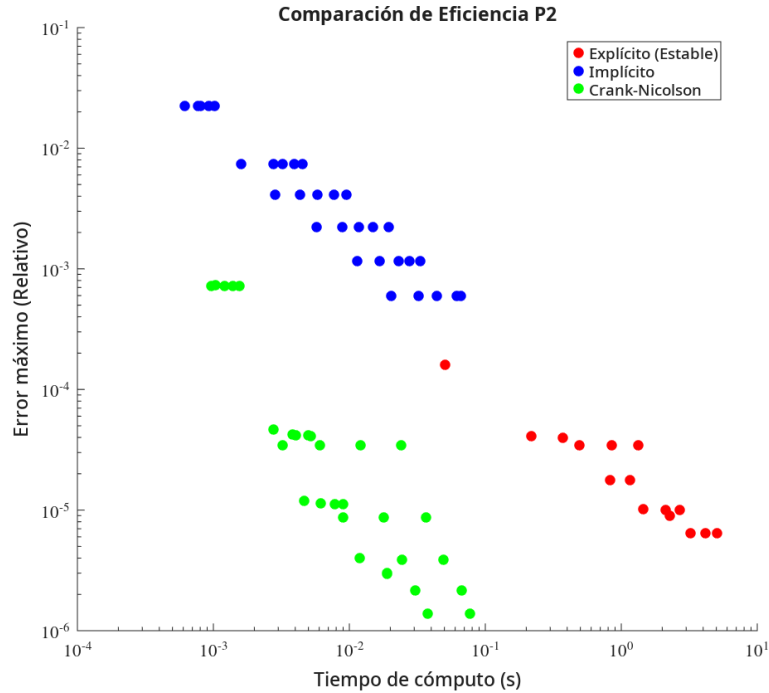


Figura 10: P2 Comparación de Eficiencia. Crank-Nicolson (verde), Implícito (azul) y Explícito (rojo).

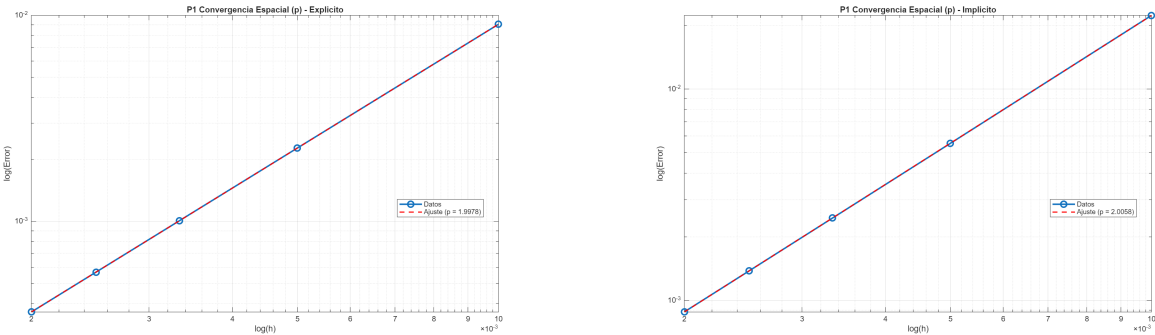
Las conclusiones son idénticas:

- **Crank-Nicolson (Verde):** Sigue formando la “frontera eficiente”, siendo el método más rápido para cualquier error deseado.
- **Implícito (Azul):** Sus puntos se sitúan por encima de los verdes, confirmando que es estable pero menos eficiente.
- **Explícito (Rojo):** Sus puntos son precisos (error bajo) pero lentos (tiempo de cómputo alto), confirmando que es inviable por su restricción de estabilidad.

**Conclusión (Parte 2):** El método de Crank-Nicolson  $O(k^2 + h^2)$  sigue siendo superior. La presencia de un término fuente y condiciones de borde no homogéneas no altera la eficiencia relativa ni el orden de convergencia.

De hecho, este caso hace más visible la superioridad de Crank-Nicolson. Al no tender la solución a cero (como en el caso homogéneo), la prueba es más exigente. Esto resalta la ineficiencia del método explícito (cuyo coste computacional en el régimen estable es prohibitivo) y consolida a Crank-Nicolson como la opción más robusta y eficiente.

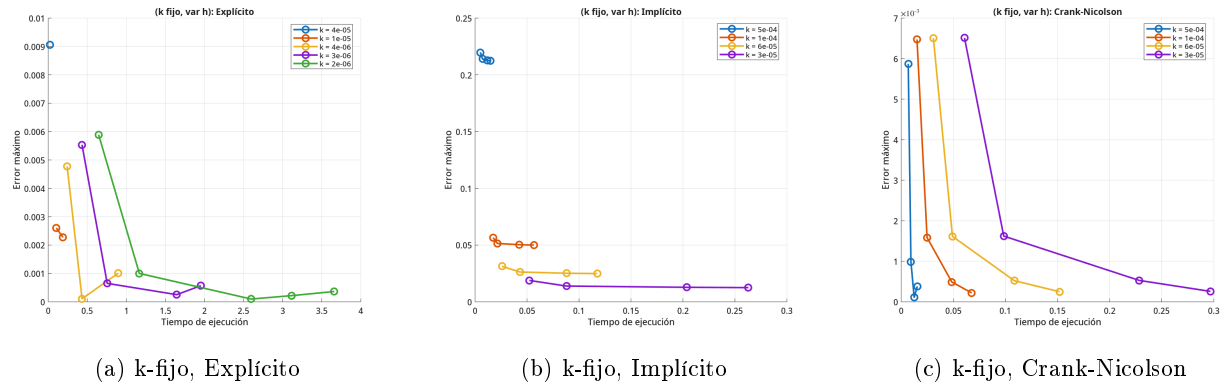
## 4 Anexo - P1



(a) P1 Convergencia espacial (p) - Explícito

(b) P1 Convergencia espacial (p) - Implícito

Figura 11: P1 Convergencia espacial para los métodos Explícito e Implícito con  $\mu = 0.4$ .

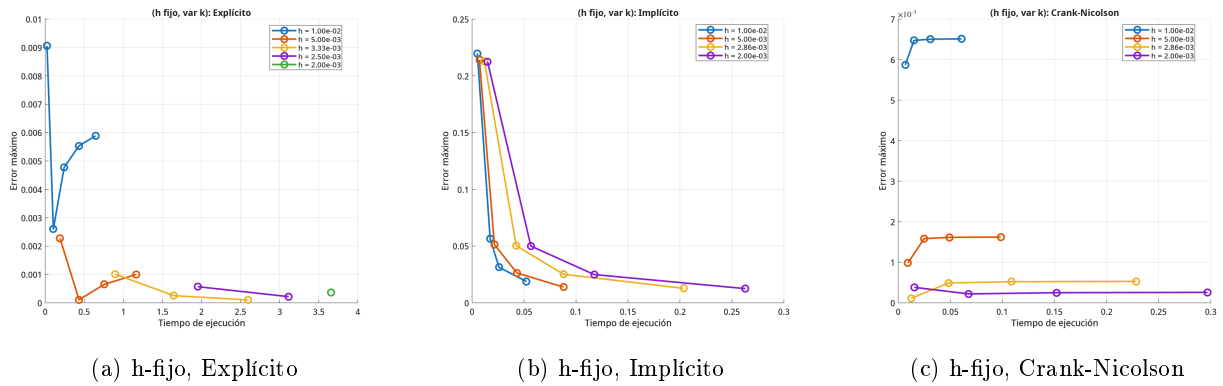


(a) k-fijo, Explícito

(b) k-fijo, Implícito

(c) k-fijo, Crank-Nicolson

Figura 12: P1 Gráficas de eficiencia con k-fijo.



(a) h-fijo, Explícito

(b) h-fijo, Implícito

(c) h-fijo, Crank-Nicolson

Figura 13: P1 Gráficas de eficiencia con h-fijo.

## 5 Anexo - P2

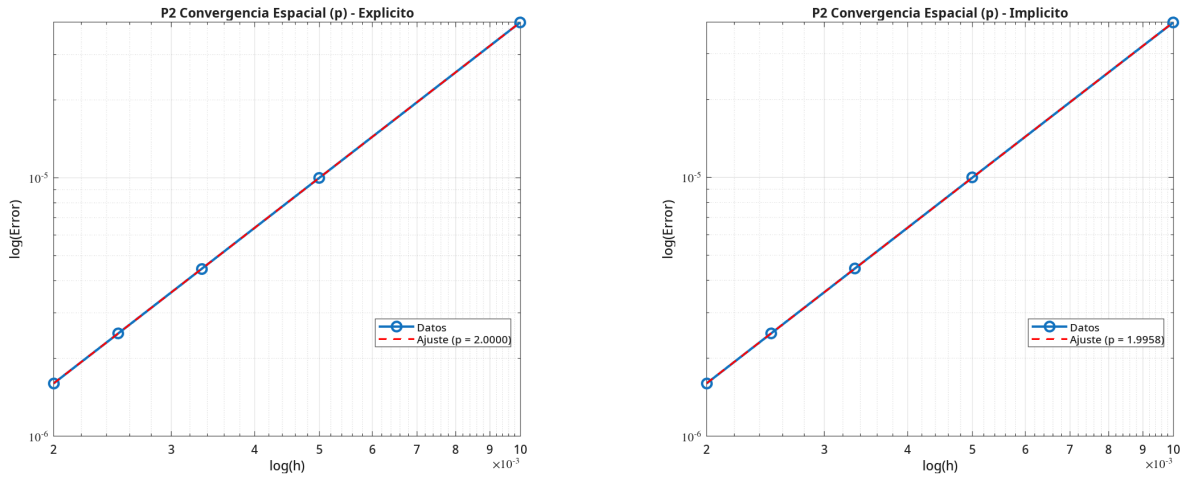


Figura 14: P2 Convergencia espacial para Explícito e Implícito con  $\mu = 0.4$ .

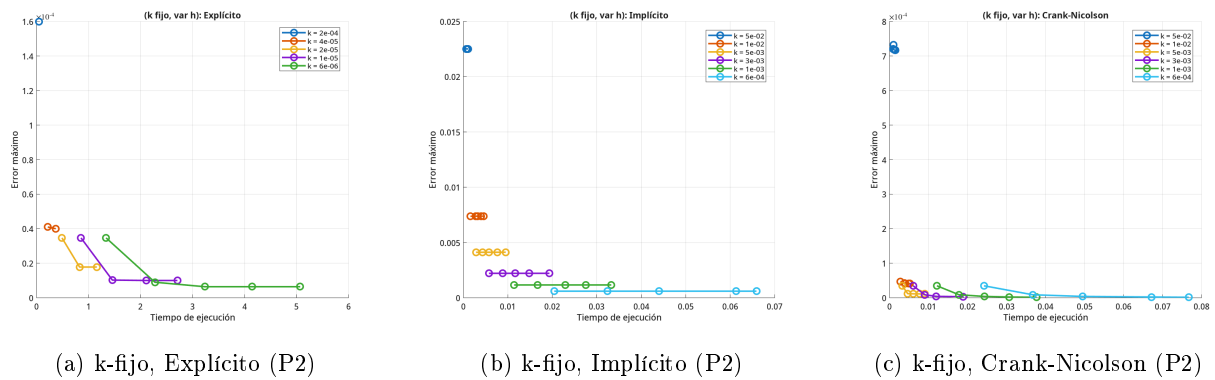


Figura 15: P2 Gráficas de eficiencia con k-fijo.

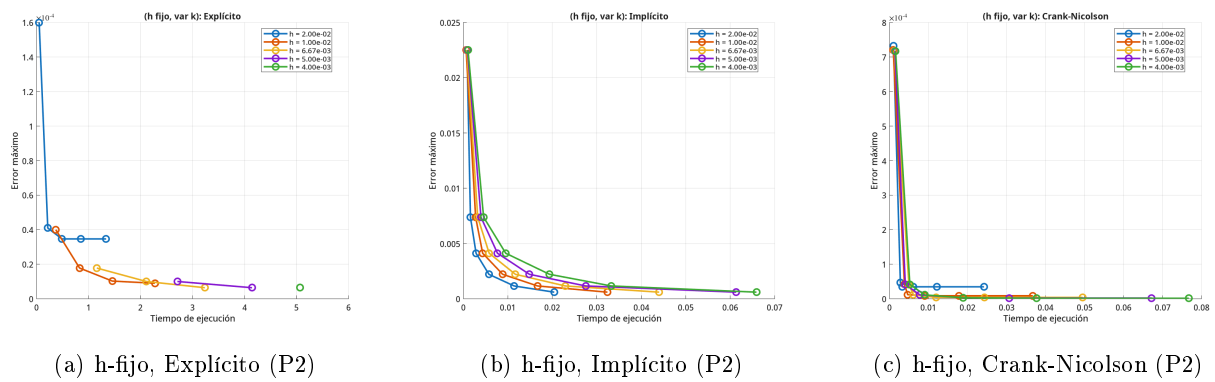


Figura 16: P2 Gráficas de eficiencia con h-fijo.